




Prevalence of left iliac vein compression on computed tomography scans from a population

Prevalência de compressão da veia íliaca esquerda em imagens tomográficas de uma população

Mateus Picada Corrêa¹ , Guilherme Soldatelli Kurtz¹, Larissa Bianchini¹, Lauren Copatti¹, Marcelo Ribeiro², Jaber Nashat Saleh¹, Rafael Stevan Noel¹, Julio Cesar Bajerski¹

Abstract

Background: May-Thurner syndrome (MTS) is defined as compression of the left iliac vein between the right iliac artery and the lumbar vertebral body in the presence of signs and symptoms of unilateral left chronic venous insufficiency. However, imaging findings of compression are not manifest in symptoms of the syndrome in all subjects. **Objectives:** To evaluate findings of compression in an asymptomatic population. **Methods:** Computed tomography angiographies or venous phase computed tomographies were analyzed. Demographic data and reason for the exam were recorded. Vein diameter was measured at the site of greatest compression and distal of the compression and the ratio between the two diameters was calculated. **Results:** From January to July of 2016, 590 computed tomography scans were analyzed (357 women and 233 men). Left iliac compression was found in 14.74% of patients. Patients with a left iliac diameter below the 5mm threshold had a mean diameter at the site of greatest iliac vein compression of 4.4 mm (range: 2.67 mm-4.97 mm). The ratio between the two measurements was < 0.5 in 30% of patients. **Conclusions:** Our study suggests that iliac vein compression is common among random patients who have had computed tomography for any other reason. This indicates that compression found on tomography images is not the only finding to consider when treating a patient.

Keywords: venous insufficiency; May-Thurner syndrome; varicose veins.

Resumo

Contexto: A síndrome de May-Thurner (SMT) é a compressão da veia íliaca esquerda (VIE) entre a artéria íliaca direita e o corpo vertebral associada à hipertensão venosa crônica unilateral no membro inferior esquerdo. Porém, o achado tomográfico da compressão não necessariamente se reflete em sintomas. **Objetivos:** Avaliar o achado de compressão da veia íliaca esquerda em tomografias realizadas por outros motivos. **Métodos:** Angiotomografias ou tomografias computadorizadas (TCs) com fase venosa foram analisadas. Foram coletados os dados demográficos e o motivo do exame, quando presente, e foi analisada a relação do diâmetro da veia íliaca esquerda no ponto de maior compressão com um ponto a montante. **Resultados:** De janeiro a julho de 2016, 590 tomografias foram analisadas, sendo 357 de mulheres e 233 de homens. A compressão da VIE ocorreu em 87 (14,74%) pacientes, dos quais 74 (85,05%) eram mulheres e 13 (14,9%) homens. O diâmetro médio do ponto de maior compressão entre os pacientes que apresentavam VIE < 5 mm foi de 4,4 mm, variando de 2,67 mm a 4,97 mm. O diâmetro no ponto de maior compressão representou até metade do diâmetro na última imagem justaposta ao corpo vertebral (índice de 0,5) em 179 (30,3%) dos pacientes. **Conclusões:** Nosso estudo sugere que a ocorrência de compressão da VIE em TC de pacientes aleatórios, sem conhecimento de insuficiência venosa crônica ou TVP em MIE, é comum. Isso mostra que o achado tomográfico de compressão não necessariamente resulta em sintomas e não deve ser a única razão para tratar um paciente.

Palavras-chave: insuficiência venosa; síndrome de May-Thurner; varizes.

How to cite: Corrêa MP, Kurtz GS, Bianchini L, et al. Prevalence of left iliac vein compression on computed tomography scans from a population. *J Vasc Bras.* 2020;19:e20190060. <https://doi.org/10.1590/1677-5449.190060>

¹ Instituto Vascular – INVASC, Passo Fundo, RS, Brazil.

² Clínica Kozma, Passo Fundo, RS, Brazil.

Financial support: None.

Conflicts of interest: No conflicts of interest declared concerning the publication of this article.

Submitted: April 23, 2019. Accepted: May 12, 2020.

The study was carried out at Instituto Vascular (INVASC) and Clínica Kozma, Passo Fundo, RS, Brazil.

INTRODUCTION

May-Thurner Syndrome (MTS) is defined as compression of the left iliac vein (LIV) between the right iliac artery (RIA) and lumbar vertebral bodies in the presence of unilateral chronic venous hypertension involving the left lower limb (LLL). Studies indicate that MTS has greatest incidence among middle-aged women.¹ The incidence in the general population of compression of the LIV by the RIA is not fully known. The objective of this study is to establish the prevalence of LIV compression in a population that is asymptomatic from a vascular point of view.

METHODS

This study was authorized by the Ethics Committee at the Universidade de Passo Fundo, under registration number 98041418.5.0000.5342. It is a descriptive, cross-sectional, retrospective study. Images were analyzed from abdominal computed tomographies (CTs) with contrast and portal phase and from computed tomography angiographies that had been requested for the most varied range of reasons and were conducted by a private radiology and diagnostic imaging clinic (Clínica Kozma). This clinic has nine centers in the South of Brazil (Passo Fundo [two units], Erechim, Lagoa Vermelho, and Frederico Westphalen in the state of Rio Grande do Sul; Florianópolis, Chapecó, and Balneário Camboriú in the state of Santa Catarina; and Pato Branco in the state of Paraná). All images are stored on the same server.

The images were analyzed by two independent authors using image analysis software accessed via the internet (Animati Viewer®, Santa Maria, RS, Brazil). The diameter of the LIV was measured at its point

of greatest compression and also in the first image in which it appears in contact with the vertebral body (Figure 1). Left iliac vein compression was defined as a diameter at the point of greatest compression of less than 5 mm. Examinations were excluded from the analysis if they did not include venous or portal phases, if LIV compression was secondary to other causes, such as tumors, or if the patient was known to have venous thrombosis of the iliofemoral axis. Patient characteristics were recorded including sex, age, and reason for requesting CT.

RESULTS

From January 2016 to July 2016, 1,676 CTs were performed, 590 of which were candidates for the study. Of these, 357 were performed on women and 233 on men. The mean of age of patients was 53 years (range: 17-82).

Compression of the LIV was observed in 87 (14.74%) patients; 74 (85.05%) women and 13 (14.9%) men. The mean age of patients with compression was 41.4 years. Mean diameter was 4.4 mm at the point of compression for those patients whose LIV diameter was less than 5 mm, with a range of 2.67 mm to 4.97 mm. In the same subset of patients, mean LIV diameter in the first image in which it appears against the vertebral body was 11 mm. In 179 (30.3%) patients, the diameter at the point of greatest compression was no more than half of the diameter in the last image in which it appears against the vertebral body (ratio of 0.5).

In the subset of patients with compression (LIV < 5 mm), the reason for ordering the examination was known in 83 (46%) patients (Table 1). In 44 (53%) patients the reason was abdominal pains, 17 (20.4%) were examined to assess the urinary system, 12 (14.4%) were

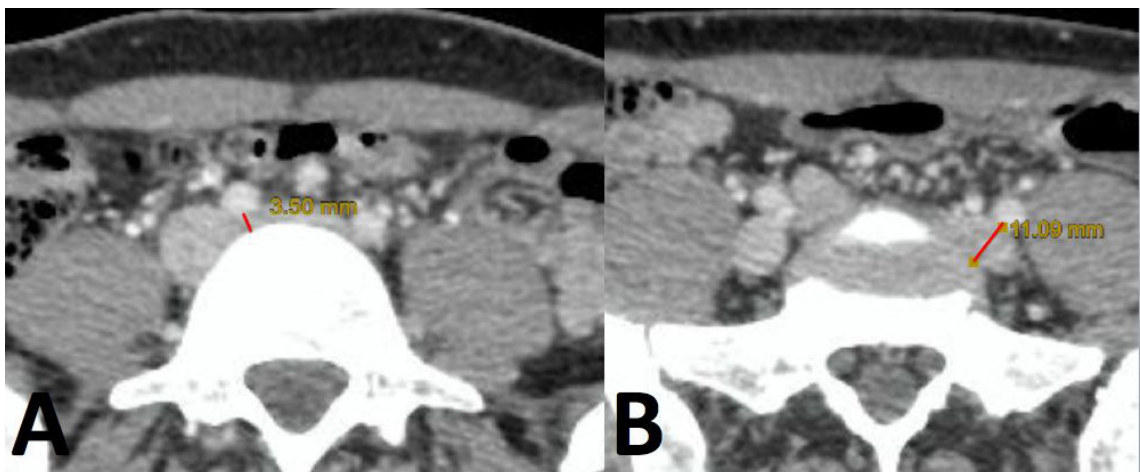


Figure 1. Diameters measured between the red lines. The point of greatest compression (A) and the last point of contact between the iliac vein and the vertebral body (B). This point was chosen because it is easy to reproduce.

Table 1. Reasons for ordering abdominal tomography in patients with LIV compression.

Cause	n (%)
Unexplained abdominal pains	44 (50)
Assessment of the urinary system	17 (19.3)
Oncological follow-up	12 (13.6)
Asymptomatic	7 (7.95)
Unknown	5 (5.6)
Polytrauma	1 (1.1)
Investigation of toxoplasmosis	1 (1.1)
Lower limb edema	1 (1.1)

n: number of patients.

examined as part of onco-hematological follow-up, seven (8.4%) were asymptomatic, one (1.2%) was examined after polytrauma, one (1.2%) to assess toxoplasmosis, and one (1.2%) because of edema of the lower limbs. Only this last case was examined because of a reason that was possibly related with venous insufficiency, although the complaint was nonspecific.

DISCUSSION

May-Thurner Syndrome comprises extrinsic compression of the left common iliac vein (LCIV) against bony structures by elements of the arterial system, accompanied by clinical symptoms of venous insufficiency.

Obstruction of the LCIV because of intraluminal adhesion was first described by McMurrich in 1906. Later, in 1957, May and Thurner detected lesions with fibrosis in this vessel in 22% of a series of 430 autopsies of cadavers. The clinical correlation was not reported until 1965, by Cockett and Thomas.^{1,2} Greater than 50% compression of the common iliac vein generally occurs against the lower lumbar vertebrae and should therefore be suspected in patients with scoliosis and dilated perimedullary veins.³ Both the pulsation and the chronic mechanical compression can cause intimal hypertrophy of the wall of the vessel, in addition to causing networks, channels, and deposits of collagen and intraluminal fibrin and, consequently, reduced distal flow and a resultant vascular gradient. This process involves two of the components of Virchow's triad (endothelial damage and abnormal blood flow), which explains the predisposition to development of deep venous thrombosis (DVT).⁴

The exact prevalence of MTS has not been established, but it is estimated to vary in the range of 2-24% of people with some type of disorder of the venous system of the lower limbs.⁵ It is more common among women aged 18 to 50 years. Asymptomatic patients may have intravascular LIV injuries – detected

by intravascular ultrasound – similar to those seen in patients with chronic venous insufficiency which, possibly, may be associated with future development of MTS.⁶ In other words, compression of the iliac vein may be asymptomatic until onset of the syndrome is triggered by an event such as gestation, prolonged immobilization, or surgery.

The clinical presentation of MTS includes persistent edema of the lower limb, with or without signs of venous hypertension. The reported prevalence of MTS in patients with venous thrombosis of the LLL varies in the range of 18-49%. Narayan et al. described a possible association between DVT and presence of > 70% stenosis of the LCIV.⁷ Carr et al. found a mean LCIV diameter of 6.5 mm in the general population and 4 mm in patients with DVT, demonstrating a six-times greater risk of DVT in patients with a 4mm diameter.⁸ Each 1 millimeter reduction in LCIV diameter increased the likelihood of DVT by a factor of 1.68.

Different patterns of iliac vein compression have been described in patients with chronic venous disease. Compression by the right common iliac artery remains the most common (77.5%), followed by a combination of the right and left common iliac arteries (47.5%), and then compression by the left common iliac artery only (18%).^{9,10}

Venous phase CT images enable direct visualization of the action of venous compression, of cases of thrombosis, and of collateral circulation.^{11,12} The advantages of CT in relation to Doppler ultrasound include shorter duration, not being examiner-dependent, and a better view of the pelvic veins. However, CTs require large volumes of contrast and cannot be used during pregnancy or in people with renal dysfunction.² Additionally, there is variability in diameter measurements that is dependent on respiratory phasicity and dorsal decubitus. When compared to digital subtraction phlebography (DSP), the cross-sectional diameter and area measured on CT correlate with reflux shown on DSP.¹³ Another effective imaging method is intravascular ultrasound (IVUS), which, in addition to determination of the degree of stenosis, is useful for calibrating the vessel before deployment of the stent.¹⁴ Notwithstanding, these last two methods both involve the inconvenience of invasivity.

Kibbe et al.¹⁵ assessed 50 patients seen in emergency for abdominal pains and observed that 24% of them had > 50% LCIV compression, and 66% had > 25% compression. Mean compression was 35.5% (5.6-74.8%) and in 84% of cases it was caused by the right common iliac artery.

Recently, a Chinese study using CTs assessed the incidence of LCIV compression in 500 asymptomatic

patients and found stenosis exceeding 25% and 50% in 37.8% and 9.8% of those analyzed, respectively. After 39.5 months' follow-up, the incidence of MTS was 1.6% of patients who had originally been asymptomatic. Additionally, the degree of stenosis was an independent risk factor for development of MTS (Wald chi-square = 8.84, hazard ratio = 1.13, $p < 0.001$).¹⁶

Tomographic studies conducted with 10 patients who had LCIV compression observed a mean diameter at the origin of the LCIV of 3.5 mm (1-8.5 mm), whereas in the control group the equivalent diameter was 11.5 mm (6.3-16.1 mm) ($p < 0.01$). The mean percentage LCIV stenosis due to compression by the right common iliac artery was 68%.¹⁷

Nazzal et al.¹⁸ reported that when they compared the LIV diameter at the point of greatest compression with the diameter of the segment distal to the compression, the rate of compression was 36.6% in the male subset of the population they studied and 48.5% in the female subset. Additionally, there was > 70% LCIV compression in 30.6% of 300 patients analyzed, once more disproportionately more prevalent in the females (19.5% vs. 11.1%, $p < 0.049$).

Ou-Yang et al.¹⁹ categorized patients with iliac vein compression into three groups – those with simple MTS, those with MTS related to lumbar degeneration, and those with MTS due to other causes – and reported that the type of MTS has a direct relationship with treatment results (Wald chi-square = 6.092, $p = 0.009$). They reported a cutoff point of 2.98 mm for MTS, with diagnostic sensitivity of 90% and 100% specificity.

Certain details should be made clear with regard to our study. The study period was chosen merely as a means of limiting the sample size and was chosen at random. When planning the study, we found that there is no agreement in the literature on measurement of stenosis in LIV. Whether at the site of analysis or at the cutoff point for cross-sectional diameter that determines compression, each author uses a different measurement. The choice of the point of greatest compression is very often subjective, because the artery may follow an oblique path across the vein and so compression of the anterior wall may not be uniform. In view of this, we decided to conduct measurements using a ratio, choosing an easily-identified point upstream: the point at which the common iliac vein touches the vertebral body. If venous hypertension is present, there is a greater possibility of venous dilation occurring proximal to the left hypogastric vein, which would act as the hypertension drainage vessel, facilitating diagnosis.

Use of software for manipulation of tomographic images facilitates diagnosis of venous compression,

but it is not available at all centers and expertise is needed to achieve an effective reconstruction. In our study, we analyzed the raw axial data using freeware cloud-based software, with the objective of mimicking any software for analysis of axial images, suggesting universalization of the methodology.

Our study suggests that compression of the LIV is common on CTs from random patients with no knowledge of the existence of chronic venous insufficiency or DVT in LLL. However, the study has a limitation. Since the examinations were conducted in private imaging clinics, which are not all located in hospitals, we did not have access to clinical data on all of the patients, which were only available for examinations conducted in hospitals where the clinic has a branch or when the treating physician specified the clinical indications when requesting the examination. We believe that a study in which the reason the examination was ordered was available for all examinations analyzed would carry much more weight. Nonetheless, the results confirm, and are similar to, data already available in the literature and add weight to the conclusion that compression does not necessarily result in MTS. Consequently, only compressions associated with symptoms should be treated.

CONCLUSIONS

This study suggests that compression of the LIV is common on CTs from random patients with no knowledge of the existence of chronic venous insufficiency or DVT in LLL, confirming published data and showing a higher prevalence among females.

In view of the results of this study, we suggest as an objective for future studies the establishment of correlations between the LIV diameter at its point of greatest compression and its relationship with the vein upstream as a feasible tool for assessment of the presence of compression, in addition to analysis of venous hypertension upstream, with presence of pelvic varicose veins originating from the left hypogastric vein.

ACKNOWLEDGEMENTS

We would like to thank Professor Dileta Cechetti for the statistical analysis of the data.

REFERENCES

1. May R, Thurner J. The case of the predominantly sinistral occurrence of thrombosis of the pelvic veins. *Angiology*. 1957;8(5):419-27. <http://dx.doi.org/10.1177/000331975700800505>. PMID:13478912.
2. Mousa AY, AbuRahma AF. May–Thurner syndrome: update and review. *Ann Vasc Surg*. 2013;27(7):984-5.

3. Oteros Fernández R, Bravo Rodríguez F, Delgado Acosta F, González Barrios I. Síndrome de May-Thurner y cirugía de escoliosis. *Radiologia (Madr)*. 2008;50(3):245-7. [http://dx.doi.org/10.1016/S0033-8338\(08\)71971-4](http://dx.doi.org/10.1016/S0033-8338(08)71971-4).
4. Steinberg JB, Jacocks M. May-Thurner syndrome: a previously unreported variant. *Ann Vasc Surg*. 1993;7(6):577-81. <http://dx.doi.org/10.1007/BF02000154>. PMID:8123461.
5. Mousa AY, AbuRahma AF. May-Thurner syndrome: update and review. *Ann Vasc Surg*. 2013;27(7):984-95. <http://dx.doi.org/10.1016/j.avsg.2013.05.001>. PMID:23850314.
6. Raju S, Neglen P. High prevalence of nonthrombotic iliac vein lesions in chronic venous disease: a permissive role in pathogenicity. *J Vasc Surg*. 2006;44(1):136-44, discussion 144. <http://dx.doi.org/10.1016/j.jvs.2006.02.065>. PMID:16828437.
7. Narayan A, Eng J, Carmi L, et al. Iliac vein compression as risk factor for left- versus right-sided deep venous thrombosis: case-control study. *Radiology*. 2012;265(3):949-57. <http://dx.doi.org/10.1148/radiol.12111580>. PMID:23175547.
8. Carr S, Chan K, Rosenberg J, et al. Correlation of the diameter of the left common iliac vein with the risk of lower-extremity deep venous thrombosis. *J Vasc Interv Radiol*. 2012;23(11):1467-72. <http://dx.doi.org/10.1016/j.jvir.2012.07.030>. PMID:23101919.
9. Prabhakar AM, Misono AS, Brinegar KN, Khademhosseini A, Oklu R. Use of magnetic resonance venography in screening patients with cryptogenic stroke for May-Thurner syndrome. *Curr Probl Diagn Radiol*. 2016;45(6):370-2. <http://dx.doi.org/10.1067/j.cpradiol.2016.04.006>. PMID:27338307.
10. Gaweesh AS, Kayed MH, Gaweesh TY. Radiologic classification of iliac vein compression and patterns of pelvic collateralization in patients with chronic venous disease. *J Vasc Surg Venous Lymphat Disord*. 2013;1(1):115. <http://dx.doi.org/10.1016/j.jvs.2012.10.061>. PMID:26993948.
11. Lugo-Fagundo C, Nance JW, Johnson PT, Fishman EK. May-Thurner syndrome: MDCT findings and clinical correlates. *Abdom Radiol (NY)*. 2016;41(10):2026-30. <http://dx.doi.org/10.1007/s00261-016-0793-9>. PMID:27271358.
12. Lamba R, Tanner DT, Sekhon S, McGahan JP, Corwin MT, Lall CG. Multidetector CT of vascular compression syndromes in the abdomen and pelvis. *Radiographics*. 2014;34(1):93-115. <http://dx.doi.org/10.1148/rg.341125010>. PMID:24428284.
13. Kuo YS, Chen CJ, Chen JJ, et al. May-Thurner syndrome: correlation between digital subtraction and computed tomography venography. *Journal of the Formosan Medical Association*. 2015;114(4):363-8. <http://dx.doi.org/10.1016/j.jfma.2012.12.004>.
14. Majdalany BS, Khaja MS, Williams DM. Intravascular Ultrasound-Guided Intervention for May-Thurner Syndrome. *Semin Intervent Radiol*. 2017;34(2):201-7. <http://dx.doi.org/10.1055/s-0037-1602758>. PMID:28579688.
15. Kibbe MR, Ujiki M, Goodwin AL, Eskandari M, Yao J, Matsumura J. Iliac vein compression in an asymptomatic patient population. *J Vasc Surg*. 2004;39(5):937-43. <http://dx.doi.org/10.1016/j.jvs.2003.12.032>. PMID:15111841.
16. Cheng L, Zhao H, Zhang FX. Iliac vein compression syndrome in an asymptomatic patient population: a prospective study. *Chin Med J (Engl)*. 2017;130(11):1269-75. <http://dx.doi.org/10.4103/0366-6999.206341>. PMID:28524824.
17. Oguzkurt L, Tercan F, Pourbagher MA, Kizilkilic O, Turkoz R, Boyvat F. Computed tomography findings in 10 cases of iliac vein compression (May-Thurner) syndrome. *Eur J Radiol*. 2005;55(3):421-5. <http://dx.doi.org/10.1016/j.ejrad.2004.11.002>. PMID:16129251.
18. Nazzal M, El-Fedaly M, Kazan V, et al. Incidence and clinical significance of iliac vein compression. *Vascular*. 2015;23(4):337-43. <http://dx.doi.org/10.1177/1708538114551194>. PMID:25398228.
19. Ou-Yang L, Lu GM. Underlying anatomy and typing diagnosis of May-Thurner syndrome and clinical significance: an observation based on CT. *Spine*. 2016;41(21):E1284-91. <http://dx.doi.org/10.1097/BRS.0000000000001765>. PMID:27379417.

Correspondence

Mateus Picada Corrêa
 Instituto Vascular – INVASC
 Rua Uruguai, 1963, 12º andar
 CEP 99010-111 - Passo Fundo (RS) - Brazil
 Tel.: +55 (54) 3045-3340
 E-mail: drmateus@invascrs.org

Author information

MPC - Professor, Cirurgia Vascular, Universidade de Passo Fundo (UPF); Professor, Cirurgia Vascular, IMED; Vascular and endovascular surgeon and interventional radiologist, Instituto Vascular de Passo Fundo (INVASC).
 GSK, LB and LC - Medical students, Universidade de Passo Fundo (UPF).

MR - Radiologist, technical director, Clínica Kozma.
 JNS - Professor, Cirurgia Vascular and Anatomia, Universidade de Passo Fundo (UPF); Vascular and endovascular surgeon and interventional radiologist, Instituto Vascular de Passo Fundo (INVASC).

RSN - Vascular and endovascular surgeon, Instituto Vascular de Passo Fundo (INVASC).

JCB - Vascular and endovascular surgeon and interventional radiologist, Instituto Vascular de Passo Fundo (INVASC).

Author contributions


Conception and design: MPC, GSK, LB
 Analysis and interpretation: MPC, JNS, JCB, RSN
 Data collection: GSK, LB, MPC
 Writing the article: MPC, GSK, LB, MR
 Critical revision of the article: MPC, MR, JNS, JCB, RSN
 Final approval of the article*: MPC, LB, LC, GSK, MR, JNS, RN, JCB
 Statistical analysis: MPC, DC
 Overall responsibility: MPC

*All authors have read and approved of the final version of the article submitted to *J Vasc Bras*.



Prevalência de compressão da veia ilíaca esquerda em imagens tomográficas de uma população

Prevalence of left iliac vein compression on computed tomography scans from a population

Mateus Picada Corrêa¹ , Guilherme Soldatelli Kurtz¹, Larissa Bianchini¹, Lauren Copatti¹, Marcelo Ribeiro², Jaber Nashat Saleh¹, Rafael Stevan Noel¹, Julio Cesar Bajerski¹

Resumo

Contexto: A síndrome de May-Thurner (SMT) é a compressão da veia ilíaca esquerda (VIE) entre a artéria ilíaca direita e o corpo vertebral associada à hipertensão venosa crônica unilateral no membro inferior esquerdo. Porém, o achado tomográfico da compressão não necessariamente se reflete em sintomas. **Objetivos:** Avaliar o achado de compressão da veia ilíaca esquerda em tomografias realizadas por outros motivos. **Métodos:** Angiotomografias ou tomografias computadorizadas (TCs) com fase venosa foram analisadas. Foram coletados os dados demográficos e o motivo do exame, quando presente, e foi analisada a relação do diâmetro da veia ilíaca esquerda no ponto de maior compressão com um ponto a montante. **Resultados:** De janeiro a julho de 2016, 590 tomografias foram analisadas, sendo 357 de mulheres e 233 de homens. A compressão da VIE ocorreu em 87 (14,74%) pacientes, dos quais 74 (85,05%) eram mulheres e 13 (14,9%) homens. O diâmetro médio do ponto de maior compressão entre os pacientes que apresentavam VIE < 5 mm foi de 4,4 mm, variando de 2,67 mm a 4,97 mm. O diâmetro no ponto de maior compressão representou até metade do diâmetro na última imagem justaposta ao corpo vertebral (índice de 0,5) em 179 (30,3%) dos pacientes. **Conclusões:** Nosso estudo sugere que a ocorrência de compressão da VIE em TC de pacientes aleatórios, sem conhecimento de insuficiência venosa crônica ou TVP em MIE, é comum. Isso mostra que o achado tomográfico de compressão não necessariamente resulta em sintomas e não deve ser a única razão para tratar um paciente.

Palavras-chave: insuficiência venosa; síndrome de May-Thurner; varizes.

Abstract

Background: May-Thurner syndrome (MTS) is defined as compression of the left iliac vein between the right iliac artery and the lumbar vertebral body in the presence of signs and symptoms of unilateral left chronic venous insufficiency. However, imaging findings of compression are not manifest in symptoms of the syndrome in all subjects. **Objectives:** To evaluate findings of compression in an asymptomatic population. **Methods:** Computed tomography angiographies or venous phase computed tomographies were analyzed. Demographic data and reason for the exam were recorded. Vein diameter was measured at the site of greatest compression and distal of the compression and the ratio between the two diameters was calculated. **Results:** From January to July of 2016, 590 computed tomography scans were analyzed (357 women and 233 men). Left iliac compression was found in 14.74% of patients. Patients with a left iliac diameter below the 5mm threshold had a mean diameter at the site of greatest iliac vein compression of 4.4 mm (range: 2.67 mm-4.97 mm). The ratio between the two measurements was < 0.5 in 30% of patients. **Conclusions:** Our study suggests that iliac vein compression is common among random patients who have had computed tomography for any other reason. This indicates that compression found on tomography images is not the only finding to consider when treating a patient.

Keywords: venous insufficiency; May-Thurner syndrome; varicose veins.

Como citar: Corrêa MP, Kurtz GS, Bianchini L, et al. Prevalência de compressão da veia ilíaca esquerda em imagens tomográficas de uma população. J Vasc Bras. 2020;19: e20190060. <https://doi.org/10.1590/1677-5449.190060>

¹ Instituto Vascular – INVASC, Passo Fundo, RS, Brasil.

² Clínica Kozma, Passo Fundo, RS, Brasil.

Fonte de financiamento: Nenhuma.

Conflito de interesse: Os autores declararam não haver conflitos de interesse que precisam ser informados.

Submetido em: Abril 23, 2019. Aceito em: Maio 12, 2020.

O estudo foi realizado no Instituto Vascular (INVASC) e na Clínica Kozma, Passo Fundo, RS, Brasil.

■ INTRODUÇÃO

A síndrome de May-Thurner (SMT) é definida como a compressão da veia íliaca esquerda (VIE) entre a artéria íliaca direita (AID) e o corpo das vértebras lombares associada à hipertensão venosa crônica unilateral no membro inferior esquerdo (MIE). Os estudos apontam um predomínio da SMT em mulheres de meia-idade¹. A incidência da compressão da VIE pela AID na população em geral não é propriamente conhecida. Este estudo visa estabelecer a prevalência de compressão da VIE em uma população assintomática do ponto de vista vascular.

■ MÉTODOS

O presente estudo foi autorizado pelo Comitê de Ética da Universidade de Passo Fundo, pelo código 98041418.5.0000.5342. É um estudo retrospectivo, descritivo, do tipo transversal. Foram analisadas as imagens de angiotomografias computadorizadas e tomografias computadorizadas (TCs) abdominais com contraste que continham fase portal realizadas de forma consecutiva pelos mais diversos motivos em uma clínica privada de radiologia e diagnóstico por imagem (Clínica Kozma). Essa clínica apresenta nove centros no sul do Brasil [Passo Fundo (duas unidades), Erechim, Lagoa Vermelha e Frederico Westphalen no Rio Grande do Sul; Florianópolis, Chapecó e Balneário Camboriú em Santa Catarina; e Pato Branco no Paraná], e todas as imagens dos exames são armazenadas em um servidor comum.

Os exames foram analisados por dois autores independentes, em um *software* de análise de imagens com acesso pela internet (Animati Viewer®, Santa Maria, RS, Brasil). Foram avaliados os diâmetros da

VIE em seu ponto de maior compressão e o diâmetro da VIE em sua primeira imagem justaposta ao corpo vertebral (Figura 1). Foi considerada compressão da VIE quando seu diâmetro no ponto de maior compressão foi menor que 5 mm. Foram excluídos da análise exames que não apresentavam fase venosa ou portal, exames em que a compressão da VIE era originada de outras causas, como compressões neoplásicas, ou exames de pacientes sabidamente com trombose venosa de eixo íliaco-femoral. Foram descritas as características dos pacientes como: sexo, idade e motivo da realização da TC.

■ RESULTADOS

No período entre janeiro de 2016 e julho de 2016, 1.676 TCs foram realizadas. Destas, 590 exames eram candidatos ao estudo, entre os quais 357 foram realizados em mulheres e 233 de homens. A média de idade dos pacientes avaliados foi de 53 anos (17 até 82).

A compressão da VIE ocorreu em 87 (14,74%) pacientes, sendo que, destes, 74 (85,05%) eram mulheres e 13 (14,9%) homens. A idade média dos pacientes com compressão era de 41,4 anos. O diâmetro médio do ponto de maior compressão entre os pacientes que apresentavam VIE menor que 5 mm foi de 4,4 mm, variando de 2,67 mm a 4,97 mm. Já o diâmetro da VIE na primeira imagem justaposta ao corpo vertebral no mesmo grupo de pacientes teve como média 11 mm. O diâmetro no ponto de maior compressão representou até metade do diâmetro na última imagem justaposta ao corpo vertebral (índice de 0,5) em 179 (30,3%) dos pacientes.

No grupo de pacientes com compressão (VIE < 5 mm), o motivo da solicitação do exame era conhecido em 83 (46%) dos pacientes (Tabela 1).

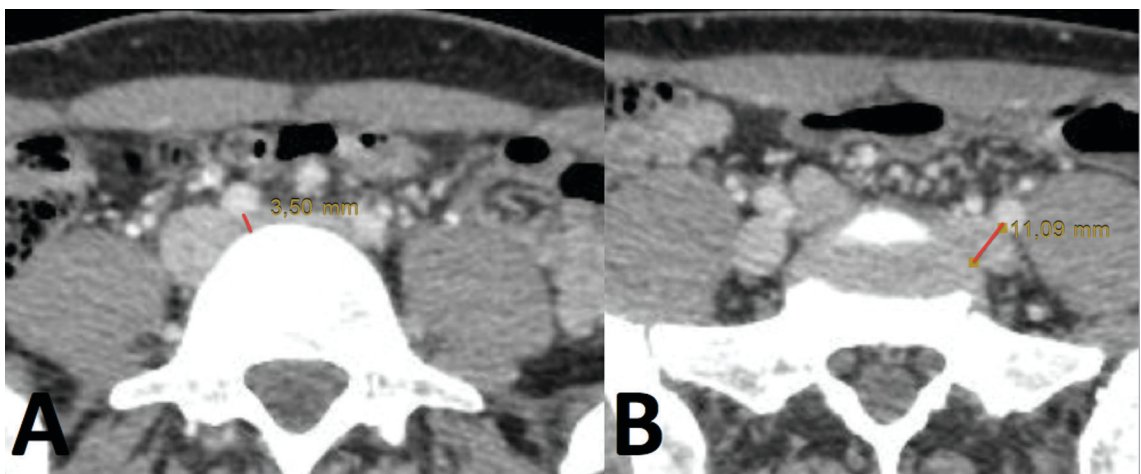


Figura 1. Locais de avaliação dos diâmetros entre as linhas vermelhas. O local de maior compressão (A) e o último local de contato da veia íliaca com o corpo vertebral (B). Esse local foi escolhido por ser de fácil reprodução.

Tabela 1. Motivos de realização da tomografia abdominal nos pacientes portadores de compressão da VIE.

Causa	n (%)
Dor abdominal a esclarecer	44 (50)
Avaliação do sistema urinário	17 (19,3)
Acompanhamento oncológico	12 (13,6)
Assintomáticos	7 (7,95)
Desconhecido	5 (5,6)
Politraumatizado	1 (1,1)
Avaliação de toxoplasmose	1 (1,1)
Edema de membros inferiores	1 (1,1)

n: número de pacientes.

Em 44 destes (53%), o motivo foi dor abdominal, 17 (20,4%) realizaram o exame para avaliação do sistema urinário, 12 (14,4%) realizaram o exame em acompanhamento onco-hematológico, sete (8,4%) eram assintomáticos, um (1,2%) realizou o exame devido a politrauma, um (1,2%) o realizou para avaliar toxoplasmose, e um (1,2%) o realizou devido a edema de membros inferiores. Somente o último caso apresentou como motivo uma possível relação com insuficiência venosa, porém a queixa era inespecífica.

■ DISCUSSÃO

A SMT consiste na compressão venosa extrínseca da veia íliaca comum esquerda (VICE) contra estruturas ósseas pelo sistema arterial, acompanhada de sintomas clínicos de insuficiência venosa.

A obstrução da VICE devido a adesões intraluminais foi descrita primeiramente por McMurrich em 1906 e, em 1957, May e Thurner detectaram lesões fibrosas nesse vaso em 22% das autópsias de 430 cadáveres. A correlação clínica somente foi relatada por Cockett & Thomas em 1965^{1,2}. A compressão da veia íliaca comum > 50% geralmente ocorre contra as vértebras lombares inferiores e, por isso, deve ser suspeitada em pacientes com escoliose e veias perimedulares dilatadas³. Tanto a pulsação quanto a compressão mecânica crônicas podem resultar em hipertrofia intimal da parede do vaso, além de causar redes, canais e depósitos de colágeno e fibrina intraluminais e, conseqüentemente, diminuição do fluxo distal e geração de um gradiente vascular. Esse processo possui dois componentes da tríade de Virchow (dano endotelial e fluxo sanguíneo anormal), o que justifica a predisposição a desenvolver trombose venosa profunda (TVP)⁴.

A prevalência exata da SMT não é estabelecida, mas estima-se que varie de 2-24% dos indivíduos com algum distúrbio do sistema venoso dos membros inferiores⁵. É mais comum em mulheres, entre os 18 e os 50 anos de idade. Pacientes assintomáticos podem apresentar

lesões intravasculares da VIE – detectadas pelo ultrassom intravascular – similares às de portadores de insuficiência venosa crônica que, possivelmente, se associam ao desenvolvimento futuro de SMT⁶. Ou seja, a compressão da veia íliaca pode ser assintomática até que algum evento desencadeie o início da síndrome, como gestação, imobilização prolongada ou cirurgia.

O quadro clínico da SMT inclui edema persistente do membro inferior, com ou sem estigmas de hipertensão venosa. A prevalência reportada de SMT em pacientes com trombose venosa de MIE varia de 18-49%. Narayan et al. descreveram possível associação entre TVP e presença de estenose > 70% da VICE⁷. Carr et al. encontraram diâmetro médio da VICE de 6,5 mm na população geral e de 4 mm em pacientes com TVP, evidenciando-se risco seis vezes maior de TVP nos pacientes com diâmetro de 4 mm⁸. Nesse sentido, cada milímetro menor no diâmetro da VICE aumentou as chances de TVP por um fator de 1,68.

Diferentes padrões de compressão da veia íliaca em pacientes com doença venosa crônica já foram descritos, permanecendo a compressão pela artéria íliaca comum direita a anomalia mais comum (77,5%), seguida pela associação entre as artérias ilíacas comum direita e esquerda (47,5%) e compressão pela artéria íliaca comum esquerda isoladamente (18%)^{9,10}.

A imagem na fase venosa da TC permite a visualização direta da compressão venosa, de casos de trombose e da circulação colateral^{11,12}. As vantagens da TC em relação ao Doppler incluem menor tempo de exame, não ser examinador-dependente e possuir melhor visualização das veias pélvicas. Contudo, a TC necessita de grande volume de contraste e não pode ser realizada durante a gravidez ou em indivíduos com alteração da função renal². Além disso, possui variabilidade de diâmetro com a fasicidade respiratória e o decúbito dorsal. Quando comparada à flebografia por subtração digital (FSD), o diâmetro e a área transversal aferidos pela TC apresentam correlação com o refluxo presente na FSD¹³. Outro método de imagem efetivo é o ultrassom intravascular (IVUS), o qual, além de determinar o grau de estenose, é capaz de calibrar o vaso antes da liberação do stent¹⁴. Estes últimos possuem, contudo, o inconveniente de serem métodos invasivos.

Kibbe et al.¹⁵ avaliaram 50 pacientes atendidos na emergência devido a dor abdominal e observaram que 24% deles apresentavam compressão da VICE > 50%, e 66% possuíam compressão > 25%. A compressão média foi de 35,5% (5,6-74,8%), e em 84% dos casos foi causada pela artéria íliaca comum direita.

Recentemente, um estudo chinês utilizando TC avaliou a incidência de compressão da VICE em 500 pacientes assintomáticos e encontrou estenose

maior que 25% e 50% em 37,8% e 9,8% dos indivíduos, respectivamente. Em 39,5 meses de seguimento, a incidência de SMT foi de 1,6% dos pacientes originalmente assintomáticos. Além disso, o grau de estenose foi um fator de risco independente para o desenvolvimento de SMT (qui-quadrado de Wald = 8,84, *hazard ratio* = 1,13, $p < 0,001$)¹⁶.

Estudos tomográficos realizados em 10 pacientes que apresentavam compressão da VICE demonstraram diâmetro médio na origem da VICE de 3,5 mm (1-8,5 mm), enquanto que no do grupo controle esse diâmetro foi de 11,5 mm (6,3-16,1 mm) ($p < 0,01$). A porcentagem média da estenose de VICE devido a compressão pela artéria íliaca comum direita foi de 68%¹⁷.

Nazzal et al.¹⁸ relataram que, quando comparado o diâmetro do ponto de maior compressão da VIE com o do segmento distal a ele, a taxa de compressão foi de 36,6% na população masculina estudada, e 48,5% na feminina. Ademais, houve compressão > 70% da VICE em 30,6% de 300 pacientes analisados, também predominantemente no sexo feminino (19,5% versus 11,1%, $p < 0,049$).

Ou-Yang et al.¹⁹ categorizaram os pacientes com compressão da veia íliaca em três grupos – aqueles com SMT simples, SMT relacionada à degeneração lombar, e SMT por outras causas – e relataram que o tipo de SMT apresenta relação direta com o resultado terapêutico (qui-quadrado de Wald = 6,092, $p = 0,009$). Além disso, o ponto de corte para SMT foi 2,98 mm, com sensibilidade diagnóstica de 90% e especificidade de 100%.

Algumas considerações sobre nosso trabalho devem ser elencadas. A decisão de utilizar o período de tempo do estudo visava apenas limitar a amostra e foi aleatória. Evidenciamos, durante o planejamento deste estudo, que não há concordância na literatura da medida de estenose na VIE. Seja no sítio de análise ou no ponto de corte do diâmetro transversal que determina compressão, cada autor utiliza uma forma de medida. A escolha do ponto de maior compressão muitas vezes é subjetiva, pois a artéria pode ter um trajeto oblíquo sobre a veia, não comprimindo de forma homogênea a sua parede anterior. Por isso, optamos por realizar a medida por meio de um índice, escolhendo um ponto a montante de fácil identificação em qualquer análise: o local onde a veia íliaca comum toca o corpo vertebral. Caso exista hipertensão venosa, há uma maior possibilidade de ocorrer dilatação venosa proximal à veia hipogástrica esquerda, que serviria como vaso de drenagem da hipertensão, facilitando o diagnóstico.

A utilização de *softwares* de manipulação de imagens tomográficas facilita o diagnóstico da compressão

venosa; todavia, não estão disponíveis em todos os centros, além de necessitarem de *expertise* para uma reconstrução efetiva. No nosso estudo, analisamos os dados brutos axiais utilizando um *software freeware* da nuvem, com o objetivo de mimetizar qualquer *software* de análise de imagens axiais, sugerindo uma universalização da metodologia.

Nosso estudo sugere que a compressão da VIE em TC de pacientes aleatórios, sem conhecimento da existência de insuficiência venosa crônica ou TVP em MIE, é comum. Porém, o estudo possui uma limitação. Por ter sido realizado em clínicas particulares de imagem, nem sempre situadas em instituições hospitalares, não tivemos acesso aos quadros clínicos de todos os pacientes, encontrados apenas nos exames realizados em hospitais onde há uma filial da clínica ou quando havia indicação clínica na solicitação do exame pelo médico assistente. Acreditamos que um estudo em que todos os exames tenham o motivo da solicitação teria muito mais força. Mesmo assim, os resultados corroboram e são semelhantes aos já encontrados na literatura e reforçam a conclusão de que a compressão não resulta necessariamente em SMT. Consequentemente, somente compressões associadas a sintomas devem ser tratadas.

■ CONCLUSÃO

O presente estudo sugere que a ocorrência de compressão da VIE em TC de pacientes aleatórios, sem conhecimento da existência de insuficiência venosa crônica ou TVP em MIE, é comum, corroborando os dados da literatura, com uma prevalência maior no sexo feminino.

De acordo com os resultados do estudo, sugerimos como alvo de novas pesquisas o estabelecimento de uma correlação do diâmetro no ponto de maior compressão da VIE e sua relação com a veia a montante como uma ferramenta viável de avaliação da presença da compressão, além da análise de hipertensão venosa a montante, com a presença de varizes pélvicas de origem em veia hipogástrica esquerda.

■ AGRADECIMENTOS

Gostaríamos de agradecer à professora Dileta Cechetti pela análise estatística dos dados.

■ REFERÊNCIAS

1. May R, Thurner J. The case of the predominantly sinistral occurrence of thrombosis of the pelvic veins. *Angiology*. 1957;8(5):419-27. <http://dx.doi.org/10.1177/000331975700800505>. PMID:13478912.
2. Mousa AY, AbuRahma AF. May–Thurner syndrome: update and review. *Ann Vasc Surg*. 2013;27(7):984-5.

3. Oteros Fernández R, Bravo Rodríguez F, Delgado Acosta F, González Barrios I. Síndrome de May-Thurner y cirugía de escoliosis. *Radiologia (Madr)*. 2008;50(3):245-7. [http://dx.doi.org/10.1016/S0033-8338\(08\)71971-4](http://dx.doi.org/10.1016/S0033-8338(08)71971-4).
4. Steinberg JB, Jacocks M. May-Thurner syndrome: a previously unreported variant. *Ann Vasc Surg*. 1993;7(6):577-81. <http://dx.doi.org/10.1007/BF02000154>. PMID:8123461.
5. Mousa AY, AbuRahma AF. May-Thurner syndrome: update and review. *Ann Vasc Surg*. 2013;27(7):984-95. <http://dx.doi.org/10.1016/j.avsg.2013.05.001>. PMID:23850314.
6. Raju S, Neglen P. High prevalence of nonthrombotic iliac vein lesions in chronic venous disease: a permissive role in pathogenicity. *J Vasc Surg*. 2006;44(1):136-44, discussion 144. <http://dx.doi.org/10.1016/j.jvs.2006.02.065>. PMID:16828437.
7. Narayan A, Eng J, Carmi L, et al. Iliac vein compression as risk factor for left- versus right-sided deep venous thrombosis: case-control study. *Radiology*. 2012;265(3):949-57. <http://dx.doi.org/10.1148/radiol.12111580>. PMID:23175547.
8. Carr S, Chan K, Rosenberg J, et al. Correlation of the diameter of the left common iliac vein with the risk of lower-extremity deep venous thrombosis. *J Vasc Interv Radiol*. 2012;23(11):1467-72. <http://dx.doi.org/10.1016/j.jvir.2012.07.030>. PMID:23101919.
9. Prabhakar AM, Misono AS, Brinegar KN, Khademhosseini A, Oklu R. Use of magnetic resonance venography in screening patients with cryptogenic stroke for May-Thurner syndrome. *Curr Probl Diagn Radiol*. 2016;45(6):370-2. <http://dx.doi.org/10.1067/j.cpradiol.2016.04.006>. PMID:27338307.
10. Gaweesh AS, Kayed MH, Gaweesh TY. Radiologic classification of iliac vein compression and patterns of pelvic collateralization in patients with chronic venous disease. *J Vasc Surg Venous Lymphat Disord*. 2013;1(1):115. <http://dx.doi.org/10.1016/j.jvs.2012.10.061>. PMID:26993948.
11. Lugo-Fagundo C, Nance JW, Johnson PT, Fishman EK. May-Thurner syndrome: MDCT findings and clinical correlates. *Abdom Radiol (NY)*. 2016;41(10):2026-30. <http://dx.doi.org/10.1007/s00261-016-0793-9>. PMID:27271358.
12. Lamba R, Tanner DT, Sekhon S, McGahan JP, Corwin MT, Lall CG. Multidetector CT of vascular compression syndromes in the abdomen and pelvis. *Radiographics*. 2014;34(1):93-115. <http://dx.doi.org/10.1148/rg.341125010>. PMID:24428284.
13. Kuo YS, Chen CJ, Chen JJ, et al. May-Thurner syndrome: correlation between digital subtraction and computed tomography venography. *Journal of the Formosan Medical Association*. 2015;114(4):363-8. <http://dx.doi.org/10.1016/j.jfma.2012.12.004>.
14. Majdalanly BS, Khaja MS, Williams DM. Intravascular Ultrasound-Guided Intervention for May-Thurner Syndrome. *Semin Intervent Radiol*. 2017;34(2):201-7. <http://dx.doi.org/10.1055/s-0037-1602758>. PMID:28579688.
15. Kibbe MR, Ujiki M, Goodwin AL, Eskandari M, Yao J, Matsumura J. Iliac vein compression in an asymptomatic patient population. *J Vasc Surg*. 2004;39(5):937-43. <http://dx.doi.org/10.1016/j.jvs.2003.12.032>. PMID:15111841.
16. Cheng L, Zhao H, Zhang FX. Iliac vein compression syndrome in an asymptomatic patient population: a prospective study. *Chin Med J (Engl)*. 2017;130(11):1269-75. <http://dx.doi.org/10.4103/0366-6999.206341>. PMID:28524824.
17. Oguzkurt L, Tercan F, Pourbagher MA, Kizilkilic O, Turkoz R, Boyvat F. Computed tomography findings in 10 cases of iliac vein compression (May-Thurner) syndrome. *Eur J Radiol*. 2005;55(3):421-5. <http://dx.doi.org/10.1016/j.ejrad.2004.11.002>. PMID:16129251.
18. Nazzal M, El-Fedaly M, Kazan V, et al. Incidence and clinical significance of iliac vein compression. *Vascular*. 2015;23(4):337-43. <http://dx.doi.org/10.1177/1708538114551194>. PMID:25398228.
19. Ou-Yang L, Lu GM. Underlying anatomy and typing diagnosis of May-Thurner syndrome and clinical significance: an observation based on CT. *Spine*. 2016;41(21):E1284-91. <http://dx.doi.org/10.1097/BRS.0000000000001765>. PMID:27379417.

Correspondência

Mateus Picada Corrêa
 Instituto Vascular – INVASC
 Rua Uruguai, 1963, 12º andar
 CEP 99010-111 - Passo Fundo (RS), Brasil
 Tel.: (54) 3045-3340
 E-mail: drmateus@invascrs.org

Informações sobre os autores

MPC - Professor, Cirurgia Vascular, Universidade de Passo Fundo (UPF); Professor, Cirurgia Vascular, IMED; Cirurgião Vascular, Endovascular e Radiologista Intervencionista, Instituto Vascular de Passo Fundo (INVASC).
 GSK, LB e LC - Acadêmicos, Medicina, Universidade de Passo Fundo (UPF).
 MR - Médico Radiologista, Diretor Técnico, Clínica Kozma.
 JNS - Professor, Cirurgia Vascular e Anatomia, Universidade de Passo Fundo; Cirurgião Vascular, Endovascular e Radiologista Intervencionista, Instituto Vascular de Passo Fundo (INVASC).
 RSN - Cirurgião Vascular, Endovascular, Instituto Vascular de Passo Fundo (INVASC).
 JCB - Cirurgião Vascular, Endovascular e Radiologista Intervencionista, Instituto Vascular de Passo Fundo (INVASC).

Contribuições dos autores

Concepção e desenho do estudo: MPC, GSTK, LB
 Análise e interpretação dos dados: MPC, JNS, JCB, RSN
 Coleta de dados: GSTK, LB, MPC
 Redação do artigo: MPC, GSTK, LB, MR
 Revisão crítica do texto: MPC, MR, JNS, JCB, RSN
 Aprovação final do artigo*: MPC, LB, LC, GSK, MR, JNS, RN, JCB
 Análise estatística: MPC, DC
 Responsabilidade geral do estudo: MPC

*Todos os autores leram e aprovaram a versão final submetida ao *J Vasc Bras*.